

Входные цепи радиоприемника выполнены по резонансной схеме с трансформаторной связью. Прием сигналов на ДВ и СВ диапазонах осуществляется двумя раздельными магнитными антennами L_1 , L_3 , выполненными на двух раздельных плоских стержнях из феррита марки 600НН.

Входной контур неработающего диапазона замыкается переключателем P_{1-2} .

Преобразователь частоты собран на транзисторе T_1 по схеме с совмещенным гетеродином. Гетеродин собран по схеме индуктивной трехточки. Напряжение сигнала поступает на базу транзистора T_1 через конденсатор C_{13} с катушкой связи L_2 или L_4 (в зависимости от включенного диапазона), а напряжение гетеродина — на эмиттер того же транзистора с катушкой связи L_6 или L_8 .

Нагрузкой преобразовательного каскада служит двухконтурный фильтр промежуточной частоты $L_{10}C_{15}$ и $L_{11}C_{11}$, который позволяет получить избирательность по соседнему каналу 20 дБ. Сигналы промежуточной частоты усиливаются двухкаскадным усилителем промежуточной частоты (УПЧ),енным на транзисторах T_2 и T_3 .

Управляющее напряжение для АРУ поступает на базу первого каскада УПЧ T_2 через развязывающий фильтр R_9C_{19} .

Усилитель низкой частоты (УНЧ) — трехкаскадный. Первый каскад собран на транзисторе T_4 , второй каскад — на транзисторе T_5 . Связь между каскадами — гальваническая, что позволяет обеспечить более стабильный режим работы транзисторов T_4 и T_5 . Нагрузкой второго каскада является согласующий трансформатор T_{p1} .

Выходной каскад УНЧ собран на транзисторах T_6 и T_7 по двухтактной трансформаторной схеме. Напряжение смещения транзисторов T_6 и T_7 выделяется на сопротивлении R_{15} , включенном в эмиттерную цепь транзистора T_5 , и зависит от величины тока эмиттера этого транзистора.

Нагрузкой выходного каскада УНЧ служит громкоговоритель 0,025ГД-2, включенный во вторичную обмотку трансформатора T_{p2} . При включении телефона громкоговоритель отключается.

Второй и выходной каскады УНЧ охвачены отрицательной обратной связью (C_{27}), улучшающей частотную характеристику радиоприемника. Радиоприемник нормально работает в диапазоне температур $-10 \pm +45^\circ\text{C}$.

Режимы работы транзисторов по постоянному току указаны на схеме. Сопротивления в контрольных точках платы радиоприемника «Орленок» приведены в табл. 4-4. Схема радиоприемников «Орленок» первых выпусков отличается от вышеописанной (рис. 4-12). Оконечный кас-

кад УНЧ выполнен по мостовой бестрансформаторной схеме. Плечи моста образованы транзисторами T_6 , T_7 и аккумуляторами питания B_1 и B_2 . Громкоговоритель включен в диагональ моста (такое схемное решение выходного каскада УНЧ позволяло получить неискаженную номинальную выходную мощность 40 мвт при наибольшей величине напряжения питания и относительно небольшой величине тока покоя 15 мА). Сигнал на базы транзисторов T_6 и T_7 подается с раздельных вторичных обмоток согласующего трансформатора T_{p1} , а напряжение

Таблица 4-4

Первый контакт	Второй контакт	Величина сопротивления, ом	Положение переключателя диапазонов
«Масса» платы («плюс» источника питания)	Выход 1 L_3	2,0—3,0	Переключатель диапазонов в положении СВ
«Масса» платы («плюс» источника питания)	Выход 5 L_8 Выход 2 L_7 Выход 1 L_1 Выход 1 L_3	0,4—0,6 4,0—5,0 25,0—27,0 0	Переключатель диапазонов в положении ДВ
«Масса» платы («плюс» источника питания)	Выход 2 L_5 Выход 1 L_1	7,0—8,0 0	Переключатель диапазонов в положении СВ
Выход 5 L_6	Выход 4 L_2	1,5—1,7	—
Выход 5 L_6	Выход 3 L_3	0,5—0,7	Переключатель диапазонов в положении СВ
Выход 5 L_6 Выход 1 L_3 Выход 4 L_4 Контакт 11 P_{1-4}	Выход 4 L_6 Контакт 2 P_{1-1} Контакт 8 P_{1-3} Контакт 12 P_{1-4}	0,4—0,6 0 0 0	То же » » »
Выход 5 L_3	Выход 3 L_6 Выход 4 L_4	0,3—0,5 0,5—1,0	Переключатель диапазонов в положении ДВ
Выход 1 L_1 Выход 4 L_2 Контакт 10 P_{1-4}	Контакт 2 P_{1-1} Контакт 8 P_{1-3} Контакт 11 P_{1-4}	0 0 0	То же » »
Выход 3 L_9	Выход 4 L_9	1,0—1,5	Переключатель диапазонов в положении ДВ
Выход 1 L_{10} Выход 1 L_{11} Выход 1 L_{12} Выход 5 L_{13} Выход 1 T_{p1} Выход 3 T_{p1} Выход 4 T_{p1} Выход 2 T_{p2} Выход 3 T_{p2} Выход 2 T_{p2} Выход 2 T_{p2} Выход 4 T_{p2} Выход 5 T_{p2} Выход 6 T_{p2}	Выход 2 L_{10} Выход 3 L_{11} Выход 3 L_{12} Выход 4 L_{13} Выход 2 T_{p1} Выход 5 T_{p1} Выход 5 T_{p1} Выход 2 T_{p2} Выход 3 T_{p2} Выход 3 T_{p2} Выход 5 T_{p2} Выход 5 T_{p2} Выход 6 T_{p2}	4,0—5,5 4,5—5,0 4,0—4,5 2,5—3,0 140—150 50—55 50—55 3,5—4,0 0,35—0,4 0,02	То же » » » » » » » » » »
Выход 1 T_{p1}	Выход 2 T_{p1}	95—100	Для радиоприемников «Орленок» первых серийных партий
Выход 3 T_{p1} Выход 5 T_{p1}	Выход 4 T_{p1} Выход 6 T_{p1}	45—50	То же

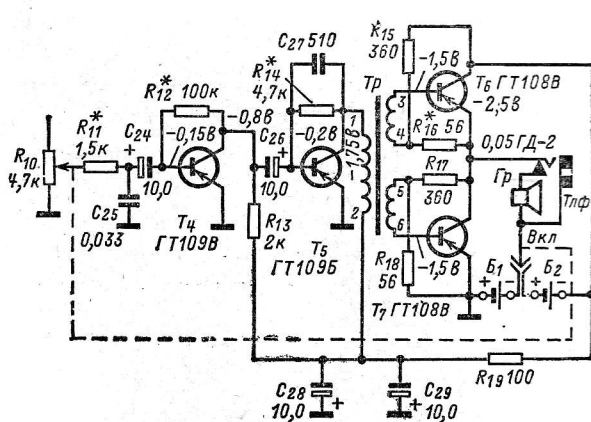


Рис. 4-12. Схема блока УНЧ радиоприемника «Орленок» первого выпуска.

П р и м е ч а н и е. Измеренные сопротивления могут отличаться от указанных в таблице на $\pm 20\%$.

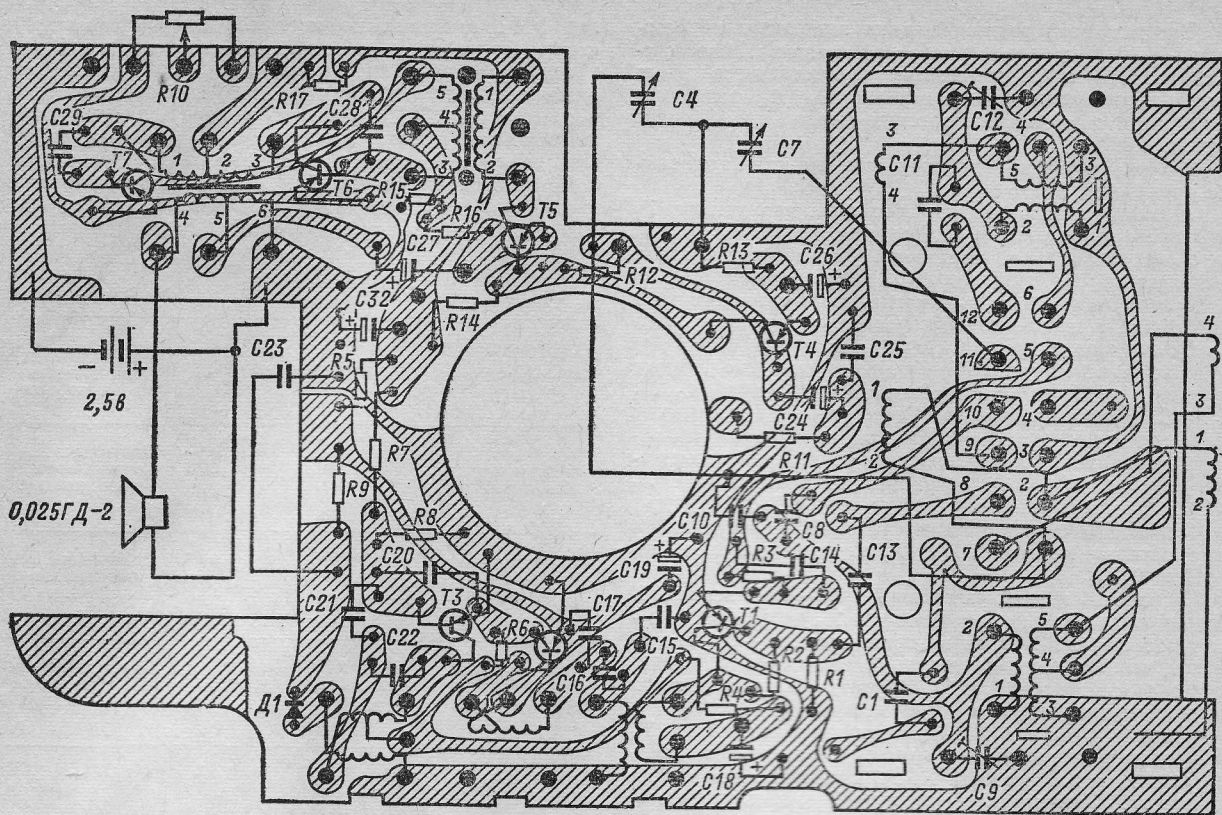


Рис. 4-13. Электромонтажная схема печатной платы радиоприемника «Орленок».

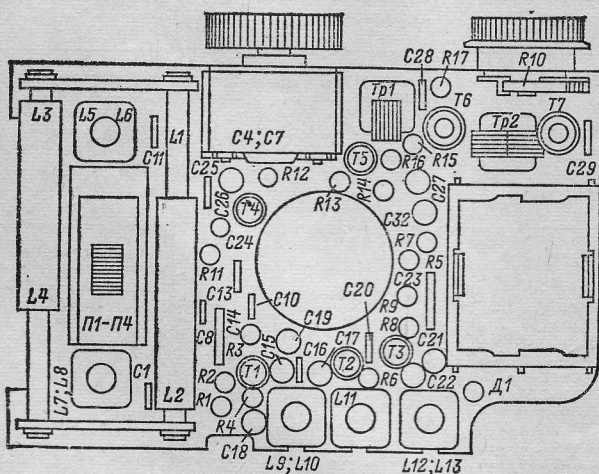


Рис. 4-14. Расположение деталей на плате радиоприемника «Орленок» (вид со стороны деталей).

смещения на эти транзисторы — с раздельных делителей (R_{15} , R_{16} и R_{17} , R_{18}).

Эмиттеры транзисторов T_4 и T_5 заземлены. Во втором каскаде УНЧ применена отрицательная обратная связь (C_{27}) и др.

Конструкция. По своему конструктивному оформлению радиоприемник аналогичен радиоприемникам «Кос-

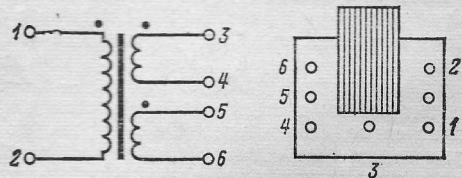


Рис. 4-15. Распайка выводов согласующего трансформатора радиоприемника «Орленок» первого выпуска.

мос» и «Космос-М». Детали и узлы приемников смонтированы на печатной плате из фольгированного гетинакса, электромонтажная схема которой показана на рис. 4-13. Положение основных деталей и узлов на печатной плате приемника показано на рис. 4-14.

Катушки входных контуров L_1 , L_2 , L_3 , L_4 намотаны на двух плоских ферритовых стержнях марки 600НН размером $2,8 \times 11 \times 48$ м. Катушки L_5 — L_{13} располагаются рядом с L_2 — L_4 . Катушки L_5 — L_{13} помещены в чашки из феррита 1000НМЗ диаметром 6,1 и высотой 4,4 мм. Подстроечный сердечник этих катушек выполнен из того же материала диаметром 2,3 и длиной 9 мм. Катушки L_5 , L_6 , L_7 , L_8 , L_9 , L_{10} , L_{11} , L_{12} , L_{13} помещены в латунные экраны размером $13,7 \times 7,5$ мм. Катушки L_5 , L_7 , L_{10} , L_{11} , L_{12} наматываются против часовой стрелки. Катушки L_6 , L_8 , L_9 , L_{13} наматываются поверх соответственно катушек L_5 , L_7 , L_{10} , L_{12} .

Моточные данные катушек и трансформаторов приведены в табл. 4-5.

Таблица 4-5

Обозна- чение по схеме	Номера выводов	Количе- ство витков	Марка и диаметр проводка, мм	Тип намотки	Сердечник, магнитопровод			Индук- тивность, мкГн	Доб- рот- ность не ме- нее					
					Марка материала	Длина, мм	Диа- метр, мм							
L_1	1—2	400	ПЭЛШО 0,1	Секционная	M600HH-3CC	Прямо- угольный, $2,8 \times 11 \times 48$	—	7 200	150					
L_2	3—4	37	ПЭЛШО 0,1	Рядовая	M600HH-3CC	То же	—	—	—					
L_3	1—2	120	ЛЭШО 0,05 \times 15	Секционная	M600HH-3CC	» »	—	660	270					
L_4	3—4	6	ПЭЛШО 0,1	Рядовая	M600HH-3CC	» »	—	—	—					
L_5	1—2	180	ПЭЛШО 0,1	Секционная	M1000HM3	9,0	2,3	360	75					
L_6	3—4	4	ПЭЛШО 0,1	»	M1000HM3	9,0	2,3	—	—					
	4—5	6	ПЭЛШО 0,1	»	M1000HM3	9,0	2,3	—	—					
L_7	1—2	116	ПЭЛШО 0,1	»	M1000HM3	9,0	2,3	310	85					
L_8	3—4	3	ПЭЛШО 0,1	»	M1000HM3	9,0	2,3	—	—					
	4—5	5	ПЭЛШО 0,1	»	M1000HM3	9,0	2,3	—	—					
L_9	3—4	20	ПЭВ-1 0,08	»	M1000HM3	9,0	2,3	—	—					
L_{10}	1—2	110	ПЭВ-1 0,08	»	M1000HM3	9,0	2,3	260	90					
L_{11}	1—2	10	ПЭВ-1 0,08	»	M1000HM3	9,0	2,3	—	—					
	2—3	45—55	ПЭВ-1 0,08	»	M1000HM3	9,0	2,3	260	90					
L_{12}	1—2	55	ПЭВ-1 0,08	»	M1000HM3	9,0	2,3	260	70					
	2—3	55	ПЭВ-1 0,08	»	M1000HM3	9,0	2,3	260	70					
L_{13}	4—5	55	ПЭВ-1 0,08	»	M1000HM3	9,0	2,3	260	70					
 Для радиоприемников «Орленок» первых серийных партий														
Tp_1	1—2	900	ПЭЛ 0,05	Два провода в навал	79НМ, Ш3 \times 4 мм	400 000 200 000 200 000	— — —	— — —	— — —					
	3—4	370	ПЭЛ 0,06											
	4—5	370	ПЭЛ 0,06											
Tp_2	1—2	120	ПЭВ-1 0,12	То же										
	2—3	120	ПЭВ-1 0,12	79НМ, Ш3 \times 4 мм	— — — —	— — — —	— — — —	— — — —	— — — —					
	4—5	58	ПЭВ-1 0,2											
	5—6	5	ПЭВ-1 0,2											
Tp	1—2	900	ПЭВ-1 0,06	Два провода в навал										
	3—4	450	ПЭВ-1 0,06											
	4—5	450	ПЭВ-1 0,06											

П р и м е ч а н и е. Измеренная индуктивность может отличаться от указанной в таблице на $\pm 3\%$.

Намотка обмоток трансформаторов Tp_1 и Tp_2 производится в два провода в навал. Сначала наматывается первичная обмотка, а затем вторичная. Схема соединения выводов трансформаторов радиоприемника Tp_1 и Tp_2 такая же, как и у радиоприемника «Космос» и «Космос-М». Схема соединения выводов согласующего трансформатора Tp радиоприемника «Орленок» первых выпусков показана на рис. 4-15.

РАДИОПРИЕМНИК «РУБИН»

Радиоприемник предназначен для приема радиостанций только длинных или только средних волн.

Основные технические данные

Диапазон принимаемых волн (частот):	
длинные волны	2 000—735,5 м (150—408 кгц)
средние волны	571,4—186,9 м (525—1 605 кгц)
Чувствительность, мВ/м:	
на длинных волнах	10
на средних волнах	8

Избирательность по соседнему каналу при расстройке частоты на ± 10 кгц
Ослабление зеркального канала не менее
Номинальная выходная мощность
Полоса воспроизводимых звуковых частот
Ток покоя
Масса радиоприемника с источником питания
Размеры
Напряжение питания от четырех аккумуляторов Д-0,06
Время непрерывной работы от полностью заряженных аккумуляторов

Не менее 14 дБ
16 дБ
25 мвт
700—3 000 гц
Не более 15 ма
90 г
54 \times 45 \times 24 мм
2,5 в
5 ч

В радиоприемнике предусмотрена возможность подключения дополнительной наружной антенны и миниатюрного телефона ТМ-4.

Принципиальная электрическая схема радиоприемника показана на рис. 4-16. Она в основном подобна схеме приемника «Космос-М» и отличается низкочастотной частью.